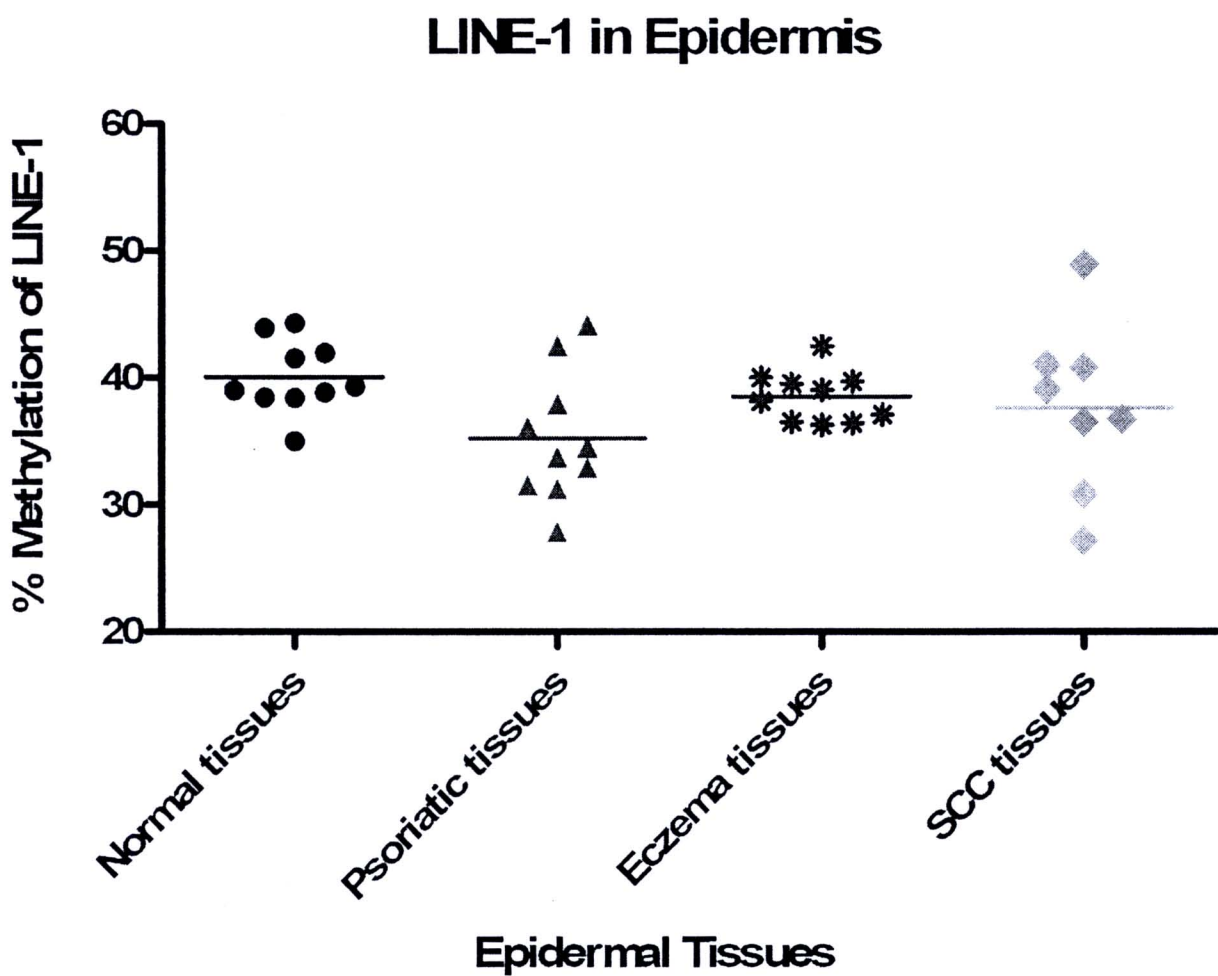


ผลการทดลอง

1. การศึกษา Genome-wide DNA methylation โดยใช้ repetitive sequences

ผลการศึกษาวัดระดับ LINE-1 DNA methylation โดยวิธี COBRA ทำการศึกษาโดยแยกเซลล์หนังกำพร้าของผู้ป่วยโรคสะเก็ดเงิน 10 ราย โรคผื่นแพ็ชนิด chronic eczema 10 ราย โรคมะเร็งชนิด squamous cell carcinoma of skin 8 ราย และผิวหนังคนปกติ 10 ราย พนวาระดับ LINE-1 DNA methylation ของเซลล์หนังกำพร้าของผู้ป่วยโรคสะเก็ดเงิน ต่ำกว่าเซลล์หนังกำพร้าของคนปกติอย่างมีนัยสำคัญทางสถิติ ($p=0.017$, % LIne-1 methylation psoriasis vs. normal skin = 35.24 ± 5.07 VS. 40.07 ± 2.84) (Figure 1)

Figure 1



เมื่อทำการศึกษา ระดับ LINE-1 DNA methylation โดยวิธี COBRA ในเซลล์เม็ดเลือดขาว (total leukocyte) จากผู้ป่วยโรคสะเก็ดเงินจำนวน 40 ราย เทียบกับคนปกติ จำนวน 20 ราย

พบว่าเซลล์เม็ดเลือดขาวของผู้ป่วยโรคสะเก็ตเงินมีระดับ LINE-1 DNA methylation ต่ำกว่าเซลล์เม็ดเลือดขาวของคนปกติอย่างมีนัยสำคัญทางสถิติ ($p=0.002$, % LINE-1 methylation psoriasis vs. healthy subjects = 41.96 VS. 46.35) และเมื่อแยกผู้ป่วยโรคสะเก็ตเงินตามระดับความรุนแรงของโรคโดยอาศัย PASI score โดยกลุ่มที่มีความรุนแรงของโรคมากจะมี PASI score ≥ 15 ซึ่งมีจำนวน 20 ราย และกลุ่มที่มีความรุนแรงของโรคน้อยจะมี PASI score < 15 ซึ่งมีจำนวน 20 ราย พบว่าผู้ป่วยทั้งสองกลุ่มมีค่าเฉลี่ยของ LINE-1 DNA methylation ไม่แตกต่างกันอย่างมีนัยสำคัญทางสถิติ อย่างไรก็ตามค่าเฉลี่ยของระดับ LINE-1 DNA methylation ในผู้ป่วยที่มีความรุนแรงของโรคมากมีแนวโน้มต่ำกว่าผู้ป่วยที่มีความรุนแรงของโรคน้อย ค่าเฉลี่ยของระดับ LINE-1 DNA methylation ในผู้ป่วยที่มีความรุนแรงของโรคมากเท่ากับ 41.14 ± 4.71 และค่าเฉลี่ยของ LINE-1 DNA methylation ในผู้ป่วยที่มีความรุนแรงของโรคน้อยเท่ากับ 42.78 ± 4.60 พบว่าผู้ป่วยทั้งกลุ่มที่มีความรุนแรงของโรคมากและน้อยมีระดับ LINE-1 DNA methylation ต่ำกว่าคนปกติอย่างมีนัยสำคัญทางสถิติ ($p=0.036$ และ $p=0.003$ ตามลำดับ) (Figure 2)

Figure 2

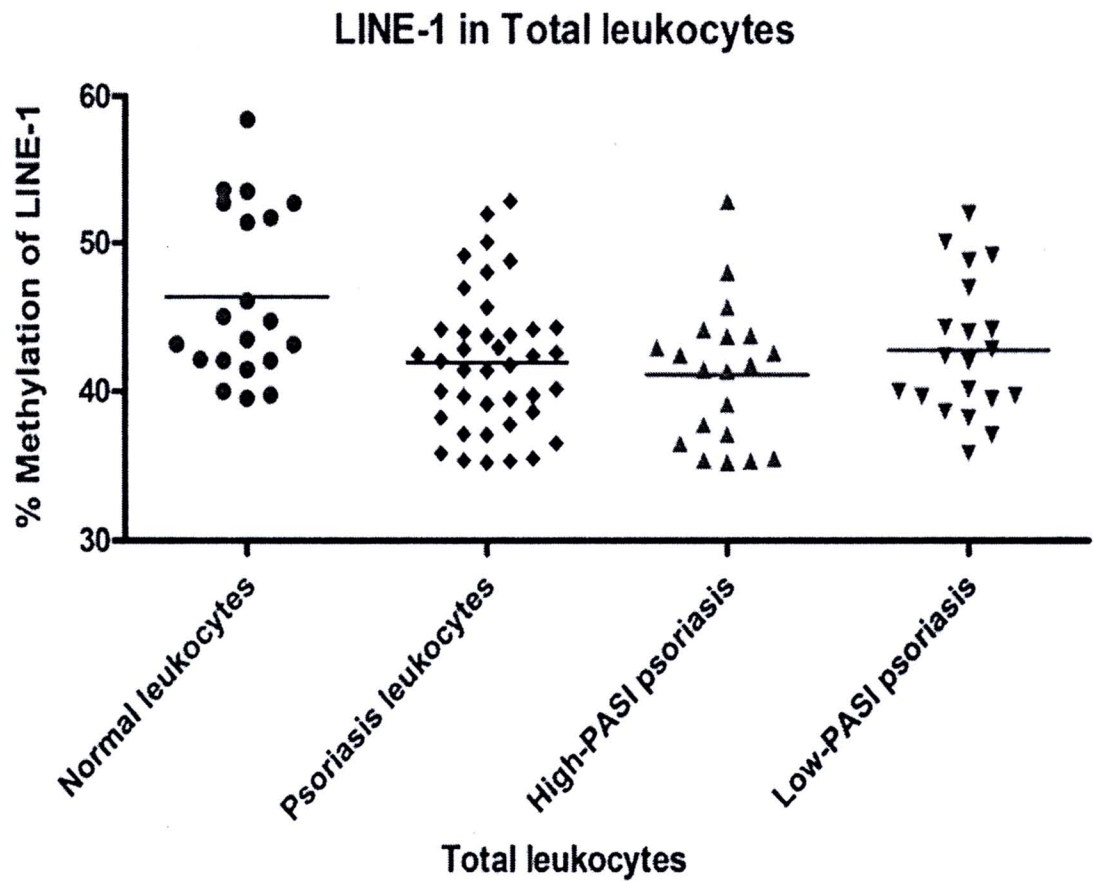


Figure 2

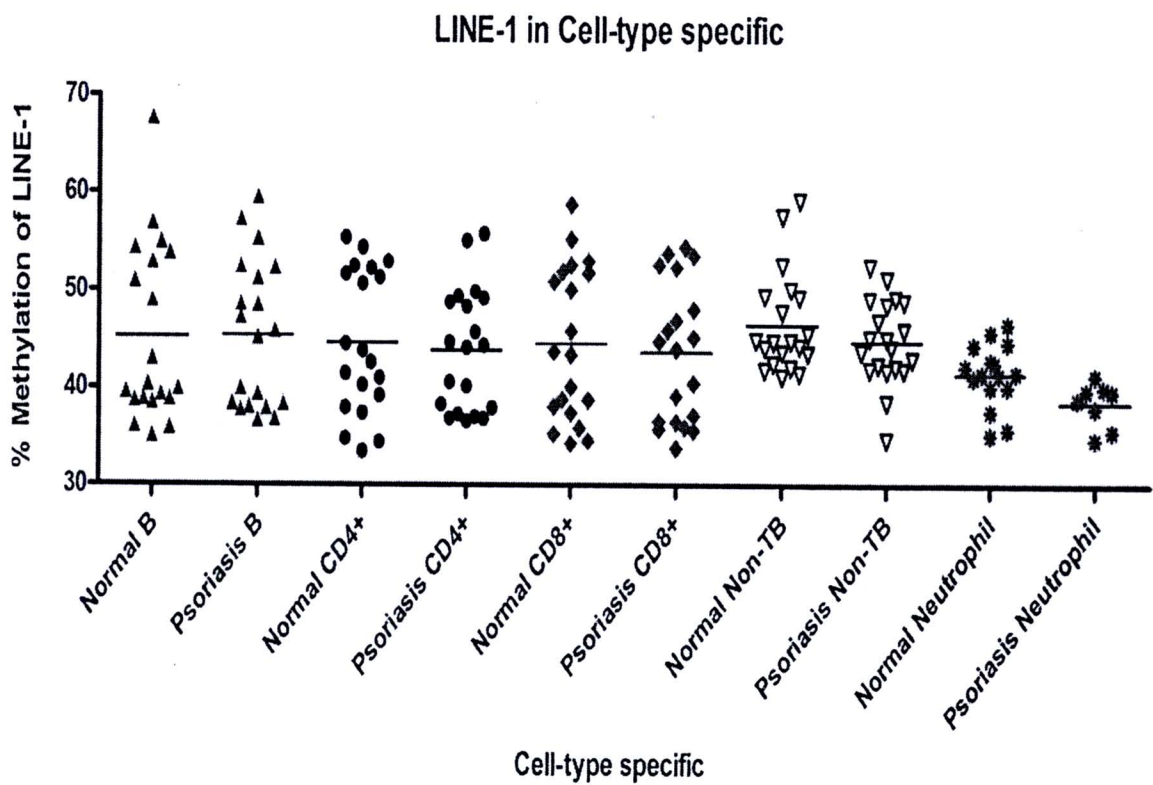
% Methylation of high PASI score (severe psoriasis) compared to normal total leukocytes: P-value = 0.003

% Methylation of high PASI score (severe psoriasis) compared to low PASI score (mild psoriasis) total leukocytes: P-value = 0.273

% Methylation of low PASI score (mild psoriasis) compared to normal total leukocytes: P-value = 0.036

เพื่อศึกษาชนิดของเซลล์ที่เกิดการเปลี่ยนแปลงระดับ LINE-1 methylation เม็ดเลือดขาวจากผู้ป่วยโรคสะเก็ดเงินและคนปกติกลุ่มละ 10 รายมาทำการแยกเซลล์เม็ดเลือดขาวจากผู้ป่วยโรคสะเก็ดเงินและคนปกติกลุ่มละ 10 รายมาทำการแยกเซลล์เม็ดเลือดขาวออก เป็นชนิดต่างๆคือ T cell, Bcell, Non-T,Non-B cell และ neutrophil พบว่า neutrophil จากผู้ป่วยโรคสะเก็ดเงินมีระดับ LINE-1 methylation ต่ำกว่าคนปกติอย่างมีนัยสำคัญทางสถิติ ($p=0.019$) ในขณะที่ เซลล์เม็ดเลือดขาวชนิดอื่นไม่มีความแตกต่างอย่างมีนัยสำคัญทางสถิติเมื่อเปรียบเทียบระหว่างโรคสะเก็ดเงินและคนปกติ (Figure 3)

Figure 3



2. การศึกษายืน ID4

a. ศึกษาระดับ ID4promoter methylation ใน cell lines, PBMC

เริ่มจากการศึกษา promoter ID4 methylation ใน cell lines ต่างๆพบว่าใน กลุ่ม Hematopoietic cell lines เช่น Jurket, Daudi, Molt4 มี ID4 promoter เป็น methylated DNA ขณะที่ HL-60 และ K562 เป็น mixed DNA PBMC เป็น unmethylated DNA แต่ในกลุ่ม Epithelial cell lines เช่น Hela, Hep2, HepG2, Caski, SiHA, HaCAT, RKO เป็น methylated DNA ส่วน SW480 เป็น Mixed DNA และUACC903 เป็น unmethylated DNA (Figure 1)

b. ศึกษาการแสวงหากnowledge ของ ID4 mRNA ใน human cell lines

โดยนำ human cell lines ต่างๆมาหารดับ ID4 mRNA โดยวิธี real-time RT-PCR พบว่ามีเพียง HaCaT และ SW480 ที่มีการแสดงออกของ ID4 mRNA ซึ่งสัมพันธ์แบบผูกพันกับการเกิด methylation ของ ID4 promoter (Table1)

Figure 1

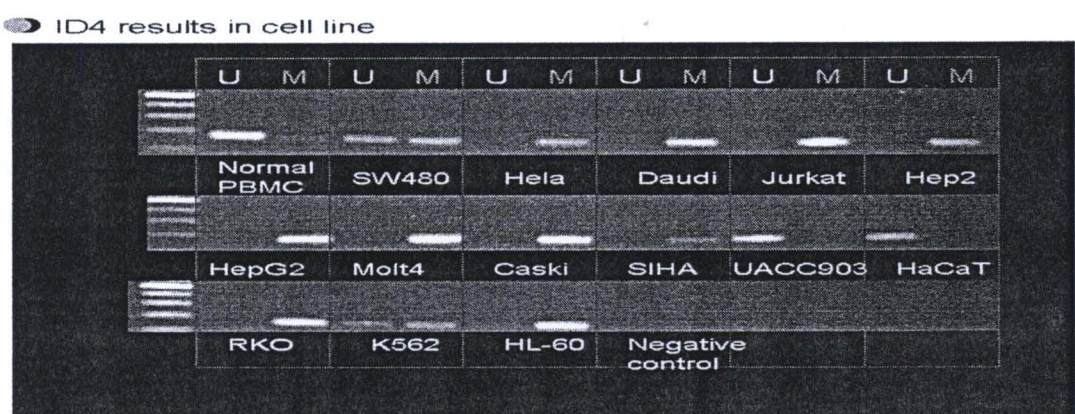


Table 1 Inverse correlation of ID4 promoter status and mRNA level of 11 Cell lines



Epithelial cell lines

HEp2	Methylated promoter	0
Hela	Methylated promoter	0
RKO	Methylated promoter	0
HaCaT	Unmethylated promoter	19.4
SW480	Met/Unmet promoter	0.14
SiHA	Methylated promoter	0

Hematopoietic cell lines

Daudi	Methylated promoter	0
Jurkat	Methylated promoter	0
Molt4	Methylated promoter	0
HL-60	Methylated promoter	0
K562	Met/Unmet promoter	0

Table 1. Levels of *ID4* mRNA expression in epithelial and hematopoietic cell lines analyzed by Real time RT-PCR. GAPDH was used as a control. The expression levels are presented as *ID4* copy number/GAPDH copy number. Names of all cell lines are listed for each row.

b. ศึกษา promoter ID4 methylation ใน PBMC และ ชิ้นเนื้อจากผู้ป่วยโรคสะเก็ดเงิน

ศึกษาระดับ DNA methylation ของยีน ID4 ใน PBMC จากตัวอย่างกลุ่ม healthy จำนวน 7 ราย และผู้ป่วยโรคสะเก็ดเงิน จำนวน 20 ราย ผลที่ได้คือ พบรการเกิด DNA methylation ในกลุ่ม healthy 5/7 ราย คิดเป็นร้อยละ 71.4 และ จากผู้ป่วย 14/20 ราย คิดเป็นร้อยละ 70.0 ซึ่งไม่พบความแตกต่างอย่างมีนัยสำคัญ (Figure 2)

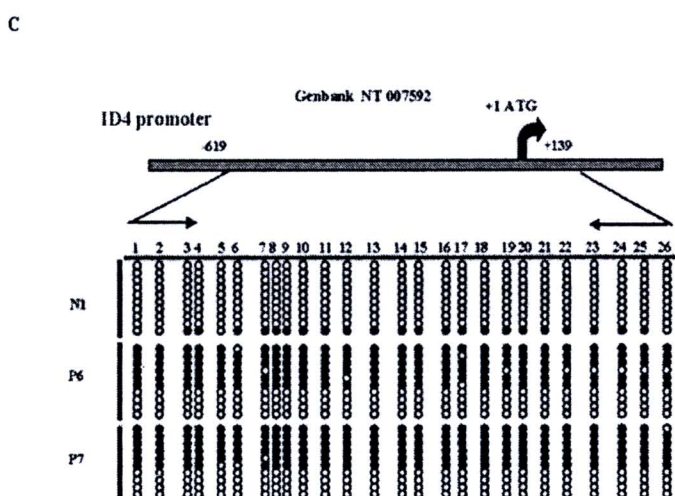
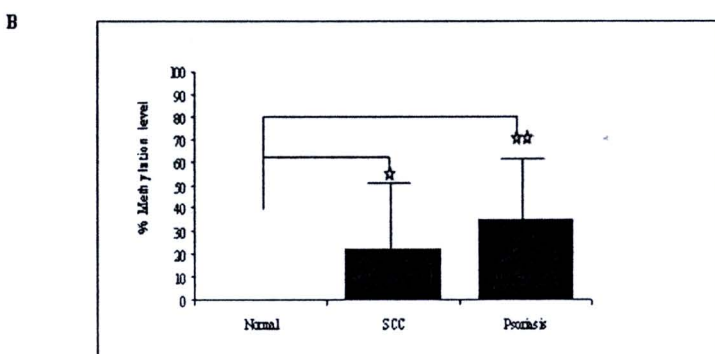
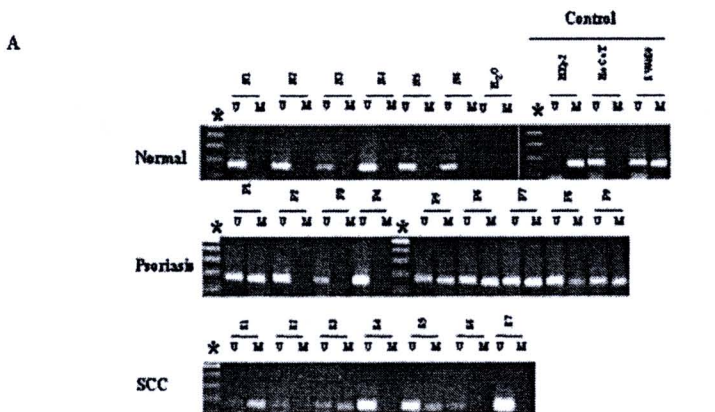
จากนั้นจึงทำการศึกษา promoter ID4 methylation ในชิ้นเนื้อจากผู้ป่วยโรคสะเก็ดเงิน เทียบกับ โรคมะเร็งชนิด squamous cell carcinoma of skin และผิวนังจากคนปกติ โดยเริ่มศึกษาในผู้ที่เป็นโรคสะเก็ดเงินก่อน พบร่วมกับ non-methylated bands เกิดขึ้นอย่างเดียวในผิวนังจากคนปกติ ทั้งหมดจำนวน 6 ราย แต่ในผู้ป่วยโรคสะเก็ดเงินจะพบทั้ง non-methylated bands และ methylated bands 6 รายจาก 9 ราย มีระดับID4 promoter methylation = 34.81% เมื่อศึกษาใน squamous cell carcinoma of skin จำนวน 7 รายพบว่า ผู้ป่วย squamous cell carcinoma of skin จะพบทั้ง non-methylated bands และ methylated bands 3 รายจาก 7 ราย มีระดับID4 promoter methylation= 21.84% (Figure 3A) เมื่อคำนวณทางสถิติพบว่าผู้ป่วยโรคสะเก็ดเงินและ ผู้ป่วยโรค squamous cell

carcinoma of skin มีการเพิ่มขึ้นของระดับ ID4 promoter DNA methylation อย่างมีนัยสำคัญ ($p \leq 0.05$) (Figure 3B) จากนั้นได้นำ sample ที่มีเฉพาะ non-methylated bands และมีทั้ง non-methylated bands และ methylated bands มาทำ bisulfite cloning and sequencing เพื่อ validate ผลของ MSP พบว่า ผลของ bisulfite cloning and sequencing เป็นไปในทางเดียวกับ MSP (Figure 3C)

Figure 2



Figure 3



สำนักงานคณะกรรมการวิจัยแห่งชาติ
ห้องสมุดงานวิจัย
วันที่..... 28.08.2555
เลขทะเบียน..... 246367
เลขเรียกหนังสือ.....

c. ศึกษา การแสดงออกของ ID4 protein ในชั้นเนื้อจากผู้ป่วยโรคสะเก็ดเงิน

ศึกษาการแสดงออกของ ID4 protein โดยวิธี immunohistochemistry ในชั้นเนื้อจากผู้ป่วยโรคสะเก็ดเงิน ($n=9$), เทียบกับโรคผิวหนังอื่น ได้แก่ โรคมะเร็งชนิด squamous cell carcinoma of skin ($n=7$) , โรค chronic eczema ($n=7$) และผิวหนังจากคนปกติ ($n=6$) พนักงานชั้นกำพร้าส่วนบนบริเวณที่เกิด parakeratosis ในโรคต่างๆ จะไม่มีการแสดงออกของ ID4 protein (Figure 4)

Figure 4

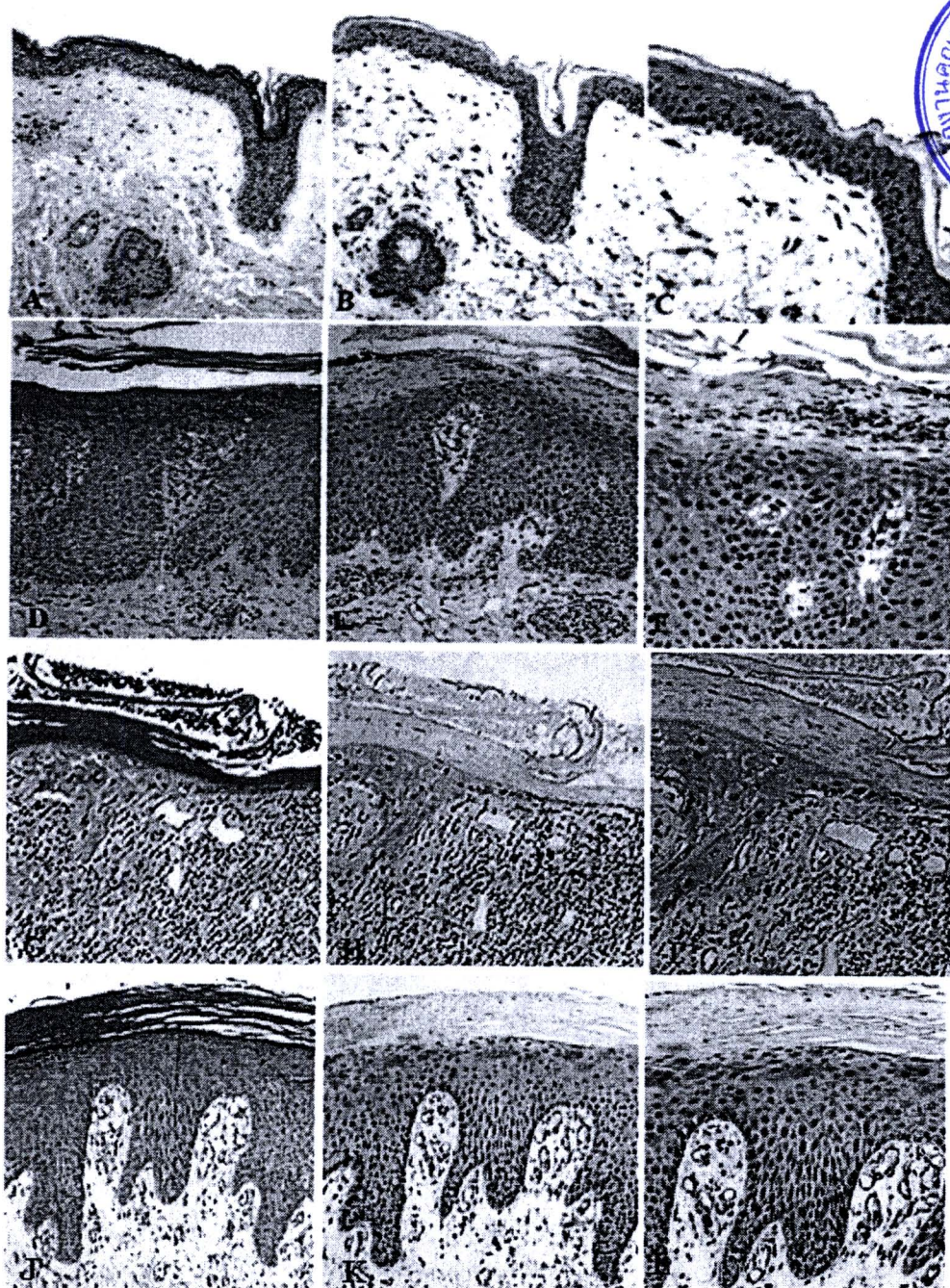
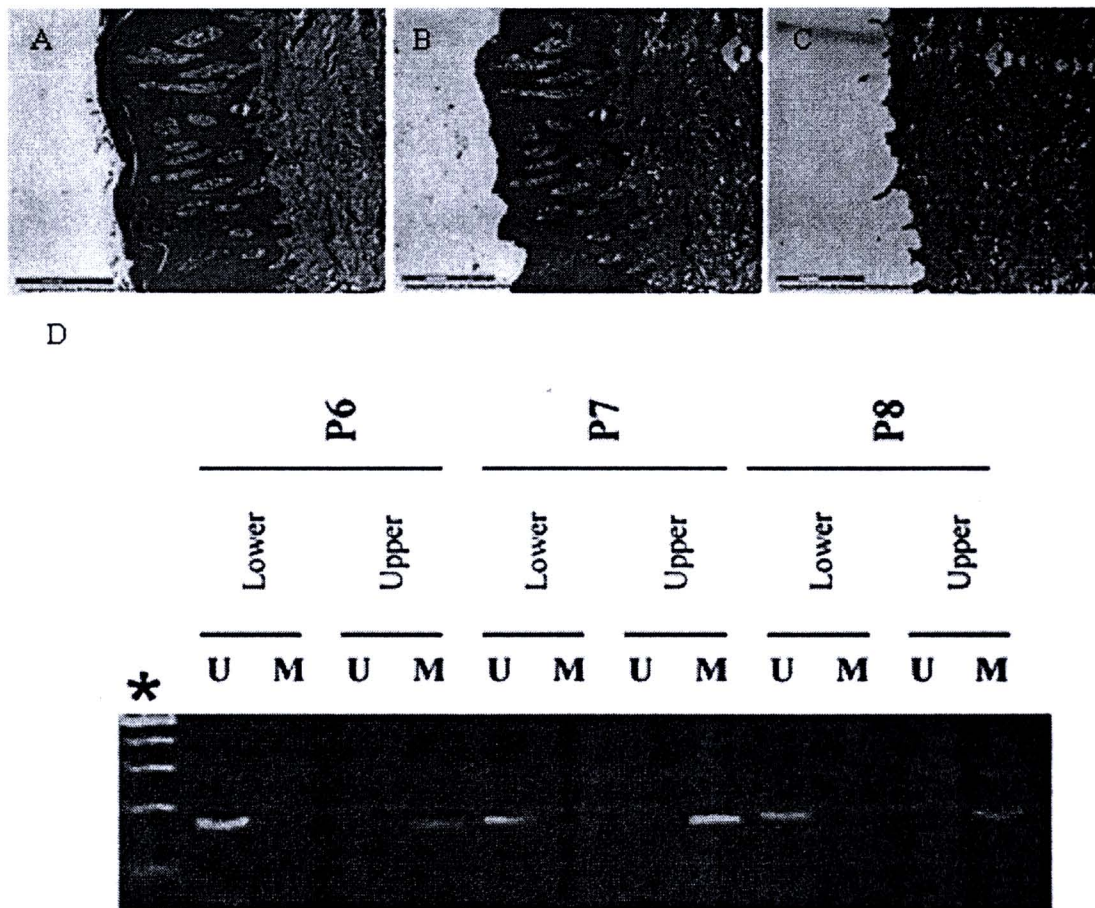


Figure 4 immunohistochemistry ของ ID4 (A-C) ผิวหนังคนปกติ (D-F) ผู้ป่วยโรคสะเก็ดเงิน (G-I) ผู้ป่วยโรคมะเร็งชนิด squamous cell carcinoma of skin และ (J-L) ผู้ป่วย chronic eczema

d. เปรียบเทียบระดับ ID4 promoter methylation ระหว่างเซลล์ผิวหนังชั้นล่างและชั้นบน

โดยแยกเซลล์ผิวหนังชั้นบนและชั้นล่างออกจากกันโดยวิธี microdissection แยกเอา neutrophil ที่แทรกในชั้นหนังกำพร้าส่วนบนออกเพื่อให้ได้เฉพาะ keratinocyte จากนั้นนำมาสกัด DNA ทำ bisulfite treatment และศึกษาระดับ ID4 promoter methylation โดยวิธี MSP technique ศึกษาในผู้ป่วย 3 รายพบว่า ตรวจพบเฉพาะ methylated band ใน keratinocyte จากผิวหนังกำพร้าชั้นบน (ระดับ DNA methylation =100%)(Figure 5)

Figure 5



- e. ศึกษา การแสดงออกของ ID4 protein เปรียบเทียบ human cell line ที่เป็น non-methylated ID4 promoter และ human cell line ที่เป็น methylated ID4 promoter

พบว่า human cell line ที่เป็น non-methylated ID4 promoter (HaCaT) จะมีการแสดงออกของ ID4 protein แตกต่างจาก human cell line ที่เป็น methylated ID4 promoter (HEp2) จะไม่มีการแสดงออกของ ID4 protein (Figure 6)

Figure 6

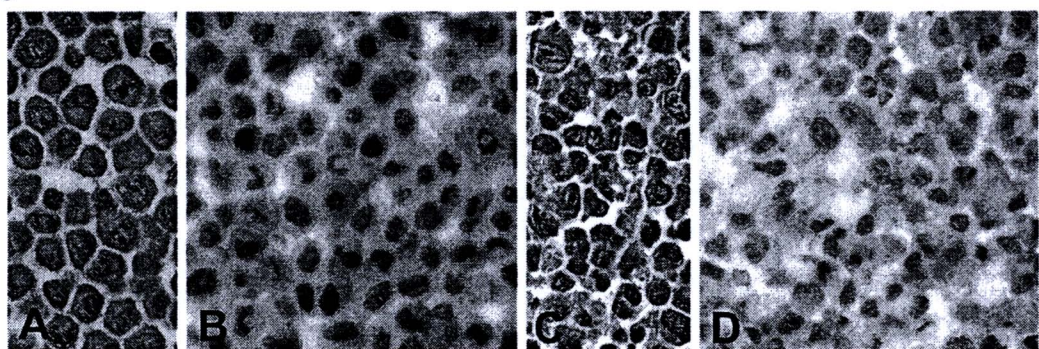


Figure 6

Immunohistochemical detection of ID4 in cell lines using a polyclonal antibody to ID4. (A-B) HaCaT cell line and (C-D) HEp2 cell line. A and C show the light microscopic appearance of the cell lines (hematoxylin and eosin, x600). HaCaT displays dense nuclear staining of ID4 (Bx600) whereas HEp2 lacks staining for ID4 (Dx600).

3. การศึกษา BCAP31

สำหรับ BCAP31 ได้ทำการศึกษาภาวะ DNA methylation โดยทำการศึกษาใน human cell lines ทั้งหมด 11 cell lines และทำการศึกษาในผู้ป่วยโรคสะเก็ดเงินและคนปกติกลุ่มละ 10 ราย โดยศึกษาใน PBMC โดยวิธีการ bisulfite treatment, cloning and sequencing รายละ 10 โคลน และทำการวิเคราะห์ CpG บนโปร์โมเตอร์ของยีน ที่ตำแหน่ง 36,167 ถึง 37,432 ของฐานข้อมูล U52111.3 ซึ่งมีทั้งสิ้น 48 ตำแหน่ง Figure 1 แสดงผล bisulfite treatment, cloning and sequencing แต่ละราย วงกลมสีขาวแสดงถึงตำแหน่งที่เป็น Unmethylation วงกลมสีดำแสดงถึงตำแหน่งที่เป็น Methylation และเมื่อเปรียบเทียบค่าเฉลี่ยของระดับ DNA methylation ของแต่ละตำแหน่ง ทั้งหมด 48 ตำแหน่ง ของผู้ป่วยโรคสะเก็ดเงินและคนปกติ พบว่าผู้ป่วยโรคสะเก็ดเงินมีระดับ DNA methylation ของยีน BCAP31 สูงกว่าคนปกติอย่างมีนัยสำคัญทางสถิติ (6.844 ± 0.4365 VS. 0.5563 ± 0.04395 $p < 0.0001$) (Figure 2)

Figure 1

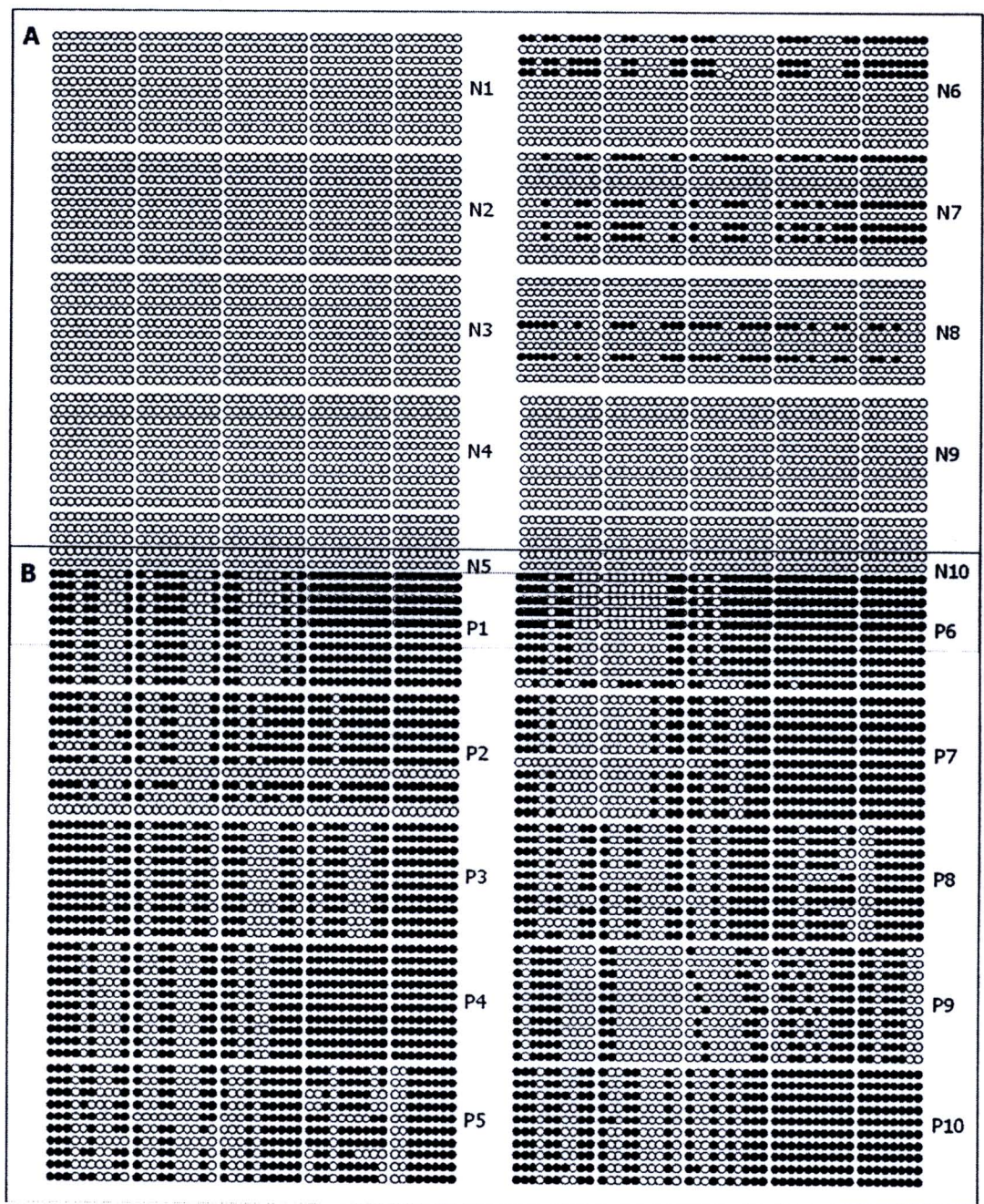
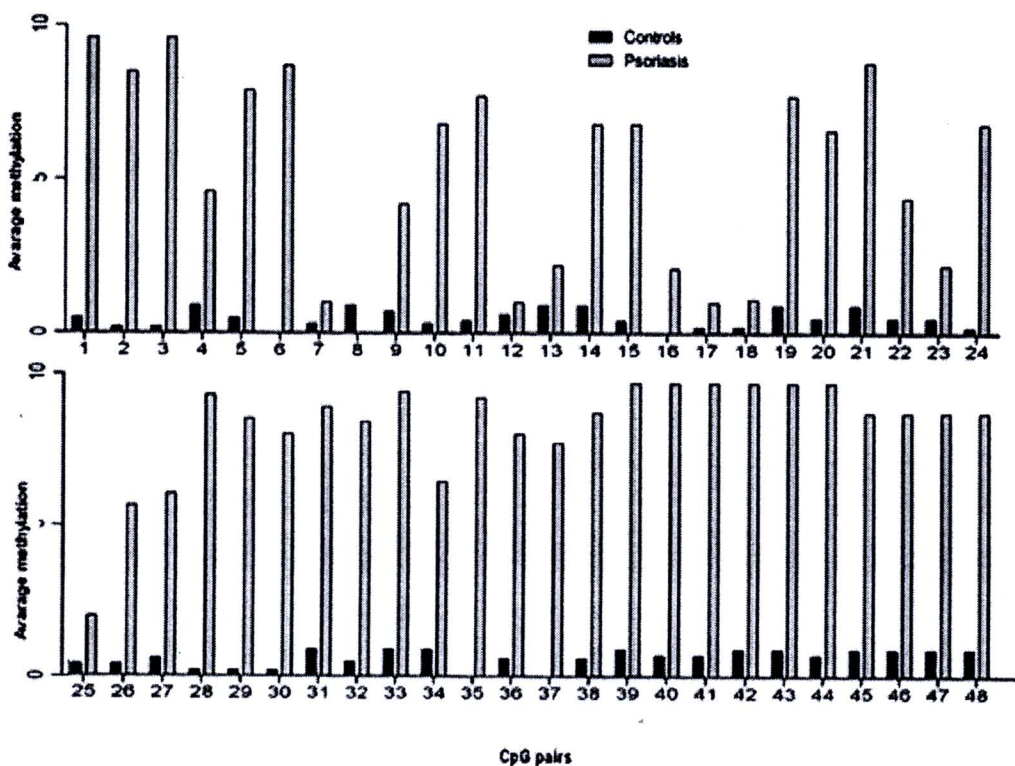


Figure 1 แสดงตัวอย่างผล bisulfite treatment, cloning and sequencing แต่ละราย Fig 1A แสดงผล methylation ของคนปกติ 10 ราย รายละ 10 โคลน Fig 1B แสดงผล methylation ของผู้ป่วยโรคสะเก็ดเงิน 10 ราย รายละ 10 โคลน Unmethylation วงกลมสีดำแสดงถึงตำแหน่งที่เป็น Methylation



Figure 2

A



B

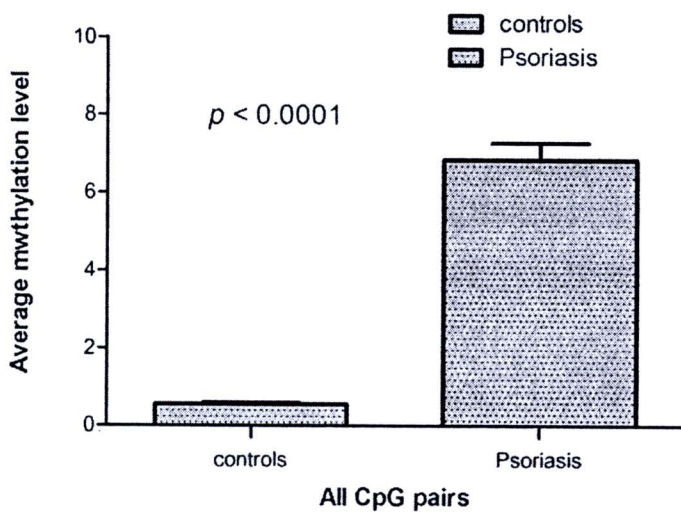


Figure 2

(A)

แสดงค่าเฉลี่ยระดับ DNA methylation ของ CpG แต่ละตำแหน่งทั้งหมด 48 ตำแหน่ง เปรียบเทียบระหว่างผู้ป่วยโรคสะเก็ดเงินและคนปกติ (B) แสดงค่าเฉลี่ยระดับ DNA methylation ของ CpG ทั้งหมด 48 ตำแหน่ง เปรียบเทียบระหว่างผู้ป่วยโรคสะเก็ดเงินและคนปกติ พนว่า ผู้ป่วยโรคสะเก็ดเงิน มีระดับ DNA methylation ของยีน BCAP31 สูงกว่าคนปกติอย่างมีนัยสำคัญทางสถิติ

จากนั้นผู้วิจัยได้ทำการศึกษาระดับ mRNA ของยีน BCAP31 โดยวิธี real-time RT PCR และ normalized ด้วยยีน 18 S โดยศึกษาใน human cell lines ทั้งหมด 11 cell lines พนว่าเฉพาะ HaCaT cell line ที่มีการแสดงของ BCAP31 mRNA สูงเมื่อเปรียบเทียบกับ human cell lines อื่น และระดับการแสดงออกของ BCAP31 mRNA มีความสัมพันธ์แบบปกตันกับระดับ DNA methylation (Figure 3)

Figure 3

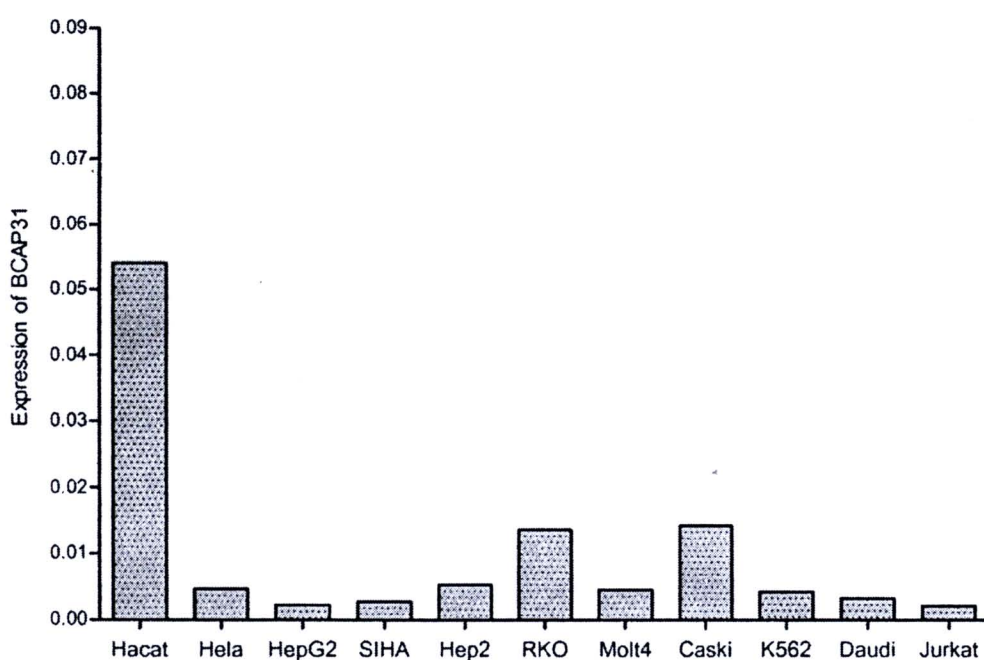
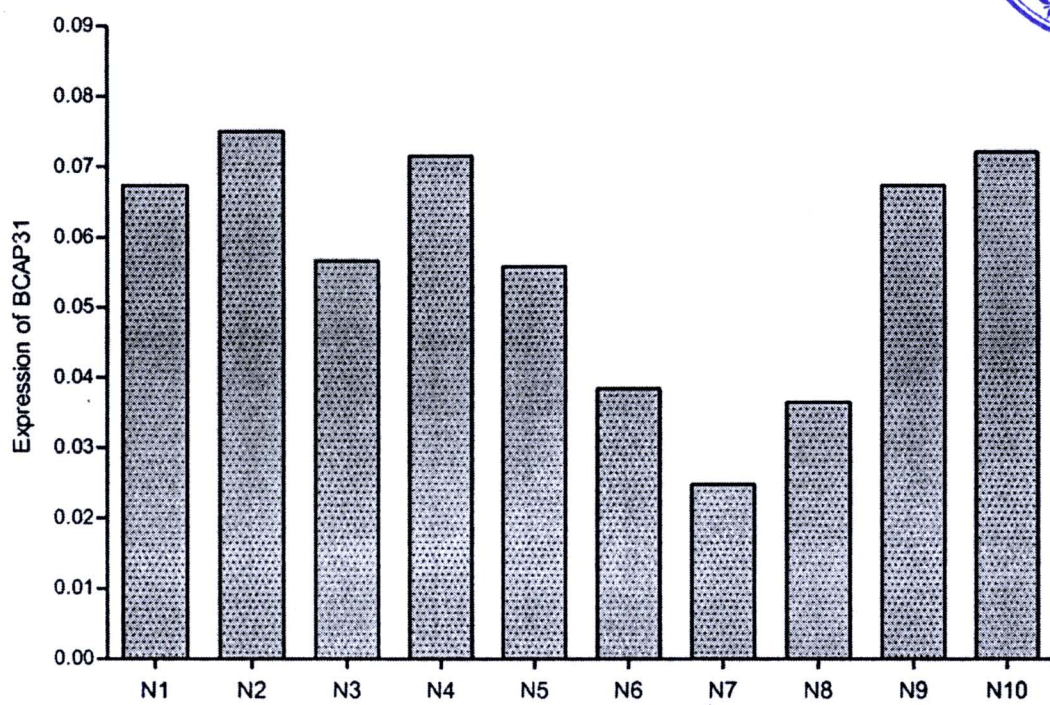


Figure 3 แสดงระดับ mRNA ของยีน BCAP31 โดยวิธี real-time RT PCR และ normalized ด้วยยีน 18 S ของ human cell lines ทั้งหมด 11 cell lines

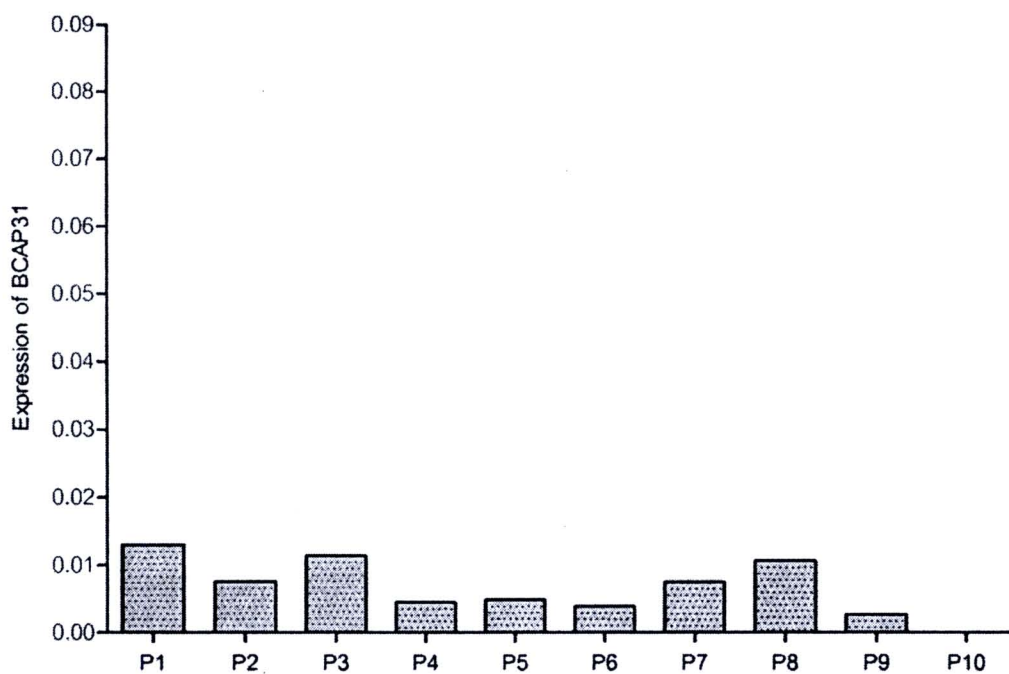
และเมื่อทำการศึกษาระดับ mRNA ของยีน BCAP31 เปรียบเทียบระหว่างผู้ป่วยโรคเกิดเงิน และคนปกติซึ่งได้ทำการศึกษาระดับ DNA methylation และ พนว่าผู้ป่วยโรคเกิดเงินมีระดับการแสดงออกของ BCAP31 mRNA ลดลงอย่างมีนัยสำคัญเมื่อเทียบกับคนปกติ (0.0565 ± 0.00550 VS. 0.0661 ± 0.0013 $p < 0.0001$) (Figure 4)

Figure 4

A



B



C

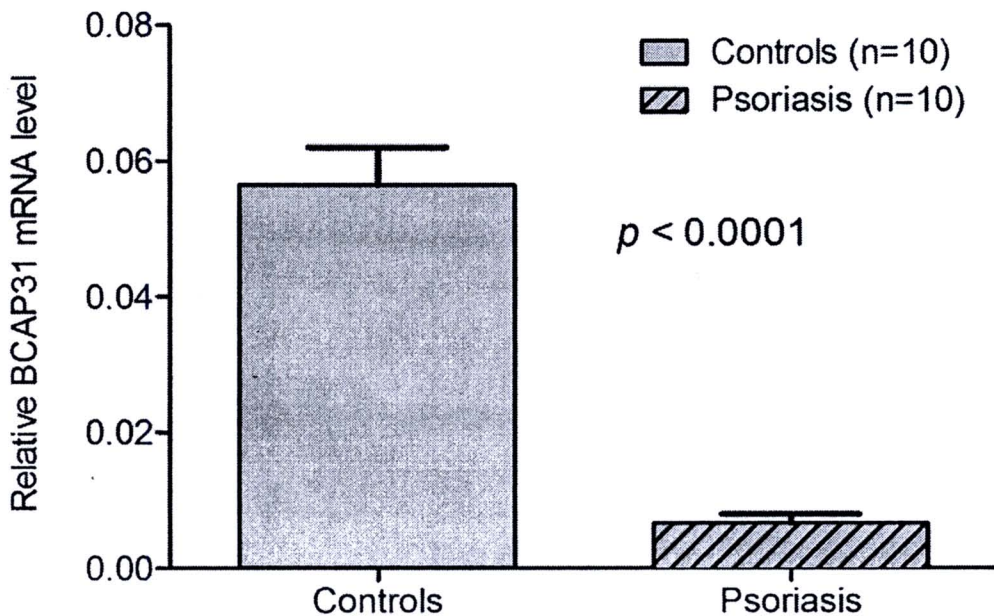


Figure 4 (A) แสดงระดับ BCAP31 mRNA ของคนปกติและราย (B) แสดงระดับ BCAP31 mRNA ของผู้ป่วยโรคสะเก็ดเงินและราย (C) แสดงค่าเฉลี่ย BCAP31 mRNA ของผู้ป่วยโรคสะเก็ดเงินเทียบกับคนปกติ พบว่าผู้ป่วยโรคสะเก็ดเงินมีระดับการแสดงออกของ BCAP31 mRNA ลดลงอย่างมีนัยสำคัญเมื่อเทียบกับคนปกติ

4. การศึกษาระดับซีรั่ม IL-22 ก่อนและหลังการรักษาโดยเมตโกรเทกเซต

a. Demographic data

การศึกษานี้ทำในผู้ป่วยโรคสะเก็ดเงินทั้งสิ้น 19 คน เป็นชาย 14 คน หญิง 5 คน อายุเฉลี่ย 44.16 ± 9.7 ปี ระยะเวลาที่เป็นโรคสะเก็ดเงินประมาณ 6 ปี พบร่วมด้วย PASI score ในเพศชาย มีแนวโน้มสูงกว่าเพศหญิงแต่ไม่มีความแตกต่างกันอย่างมีนัยสำคัญทางสถิติ ผู้ป่วยชายทั้งสิ้น 8 คน เดยก่อรับการรักษาด้วย systemic treatment มาแล้วและส่วนใหญ่ได้รับยา Methotrexate ซึ่งผู้ป่วย 7 คนตอบสนองดีต่อยาดังกล่าว ผู้ป่วย 1 มีประวัติไม่ตอบสนองต่อยา Methotrexate และตอบสนองดีต่อ การรักษาด้วย PUVA และ Acitretin ผู้ป่วยหญิงทั้งหมดไม่ประวัติได้รับการรักษาด้วย systemic treatment มาก่อนการศึกษา ระดับ BMI ของผู้ป่วยส่วนใหญ่อยู่ในเกณฑ์ปกติโดยมีค่าเฉลี่ยประมาณ 23 ข้อมูลพื้นฐานทั้งหมดของผู้ป่วยแสดงไว้ในตารางที่ 1

ตารางที่ 1ข้อมูลพื้นฐานทั่วไปของผู้ป่วย (demographic data)

	Male (N=14)	Female (N=5)
Age (yr)	44.21±10.7	44±6
Disease duration (yr)	10±9	6±6
PASI baseline	22±11	14±3
BMI	23±4.3	23.09±3.1
Previous systemic treatment	8 (57.14%)	0

1. Serum levels of IL-22 were significantly reduced after treatment with MTX

สามารถตรวจพบชีร์ม IL-22 พบได้ในกลุ่มตัวอย่าง 17 คน (89.47%) และกลุ่มควบคุม 13 คน (68.42%) ค่ากลาง [Median] ของระดับ IL-22 ของผู้ป่วยและกลุ่มควบคุมมีค่าเท่ากัน 30.1 และ 9.15 pg/ml ตามลำดับ (ตารางที่ 2) โดยที่ระดับ IL-22 ก่อนการรักษาของกลุ่มผู้ป่วยมีค่ามากกว่า กลุ่มควบคุมอย่างมีนัยสำคัญ (56.63 ± 60.73 pg/ml vs. 12.58 ± 12.59 pg/ml, $p < 0.001$) (Fig 1A). กลุ่มผู้ป่วยที่มีภาวะโรครุนแรง (ค่า PASI score > 15) จะมีระดับชีร์ม IL-22 สูงกว่ากลุ่มผู้ป่วยที่มีภาวะโรคปานกลาง (ค่า PASI score = 10-15) อย่างมีนัยสำคัญ (92.81 ± 64.47 pg/ml vs. 16.43 ± 12.88 pg/ml, $p = 0.001$) (Fig 1B). และระดับชีร์ม IL-22 ลดลงอย่างมีนัยสำคัญหลังการรักษาด้วยยา Methotrexate (5.98 ± 4.69 vs. 20.09 ± 10.58 , $p < 0.001$) (Fig 1A).

นอกจากนี้ยังได้ทำการวัดระดับชีร์ม IL-17 ชีร์ม IL-17 สามารถตรวจพบได้ในกลุ่มผู้ป่วย 2 คน (10.53%) จาก 19 คน แต่ตรวจไม่พบในกลุ่มควบคุม และระดับชีร์ม IL-17 ไม่มีความแตกต่างกันระหว่างกลุ่มผู้ป่วยและกลุ่มควบคุมอย่างมีนัยสำคัญทางสถิติ ($p = 0.142$) หลังการรักษาไม่พบใช้ได้ในดังกล่าวในชีร์มผู้ป่วย

ตารางที่ 2 แสดงระดับชีรั่ม IL-22 และ PASI score ก่อนและหลังการรักษา

	Mean	Md	IQ	<i>p</i> -value
PASI-score				
Before	20.09	15.4	12.5-28.4	
After	5.98	5	2.1-11.1	<0.001*
IL-22				
Before	56.63	30.1	11.39-113.92	
After	9.33	2.41	0-21.12	<0.001*
IL-22 control	12.58	9.15	0-25.42	

p-value เที่ยบระหว่างก่อนและหลังการรักษา

Figure1

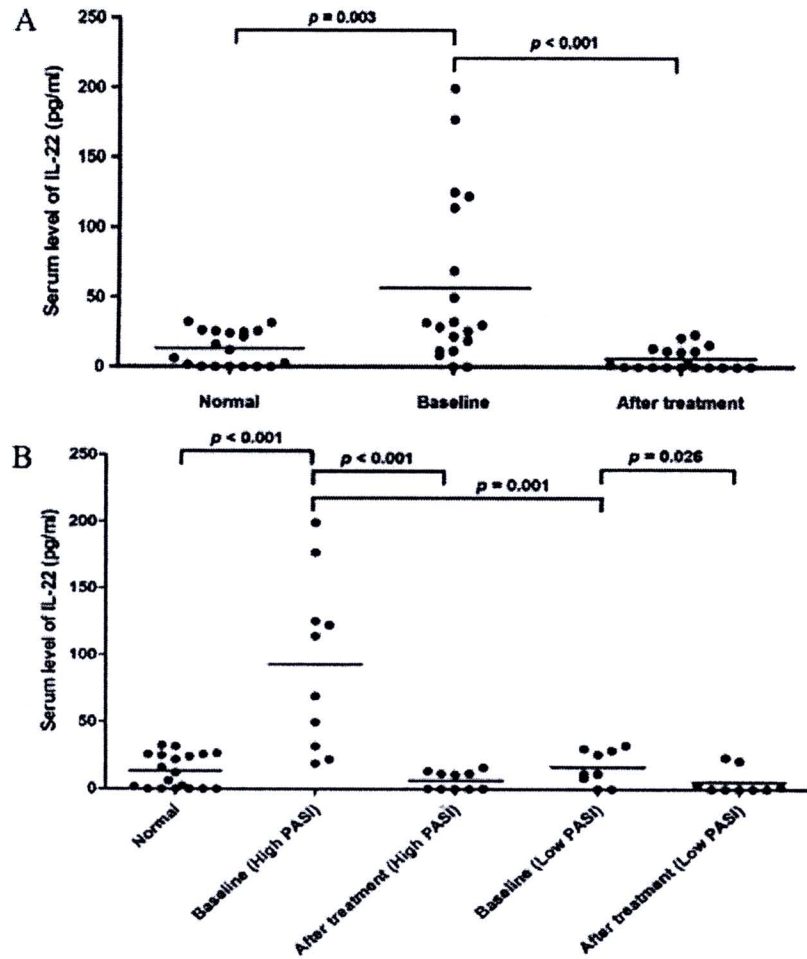


Figure 1 IL-22 serum level in healthy controls and in psoriasis patients at baseline and after treatment. Each dot represents the IL-22 serum level of a sample. Horizontal bars represent the mean. (A) Comparison between controls and psoriasis patients, at baseline and after treatment. (B) Comparison between psoriasis patients divided into high and low PASI groups, at baseline and after treatment.

2. Correlation between IL-22 serum level and PASI score

ค่า PASI score และระดับซีรั่ม IL-22 ก่อนและหลังการรักษาแสดงไว้ในตารางที่ 3 พนวาระดับซีรั่ม IL-22 ก่อนการรักษา มีความสัมพันธ์กับ PASI score ระดับปานกลางอย่างมีนัยสำคัญทางสถิติ [$r=0.63$, $p=0.004$, $R^2=0.21$] (Fig 2A). และเมื่อแบ่งผู้ป่วยเป็น 2 กลุ่มตามระดับซีรั่ม IL-22 ก่อนการรักษาเป็น กลุ่มที่มีระดับซีรั่ม IL-22 สูง ($IL-22 > 50 \text{ pg/ml}$) ($n=6$) และกลุ่มที่มีระดับซีรั่ม IL-22 ต่ำ ($IL-22 \leq 50 \text{ pg/ml}$) ($n=13$) พนวากลุ่มที่มีระดับซีรั่ม IL-22 สูงจะมีค่าเฉลี่ยของPASI score ที่ลดลงหลังการรักษามากกว่า กลุ่มที่มีระดับซีรั่ม IL-22 ต่ำอย่างมีนัยสำคัญทางสถิติ (22.92 ± 10.67 vs. 10.05 ± 5.83 , $Z=2.68$, $p=0.007$) (Fig 2B).

Figure 2

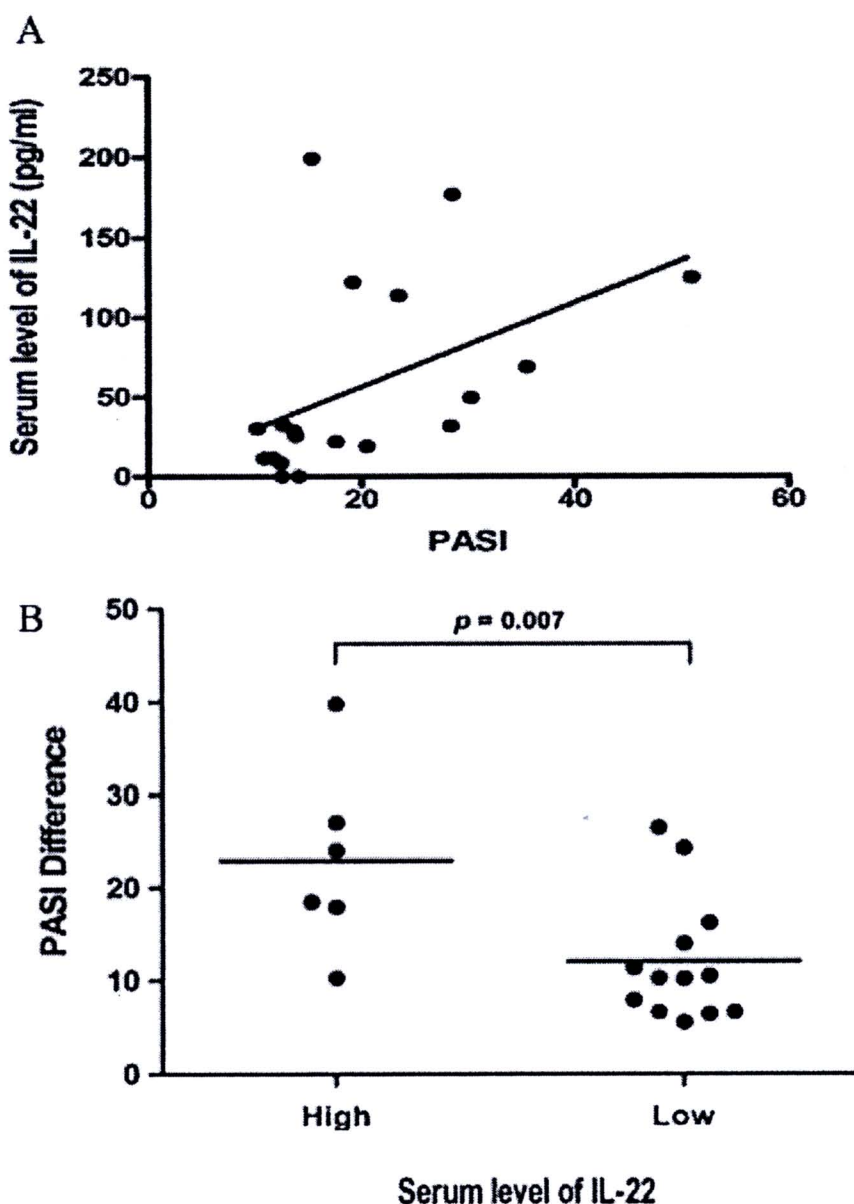


Figure 2 IL-22 serum level and PASI score in psoriasis patients. (A) Correlation between IL-22 serum level and PASI score at baseline ($r=0.63$, $p=0.004$). Each dot represents the IL-22 serum level and PASI score of each patient at baseline. (B) The clinical response to MTX was significant different between the group with high and low IL-22 serum level ($Z=2.68$, $p=0.007$). Each dot represents PASI difference between baseline and after treatment of each patient. Horizontal bars represent the mean of PASI difference. 'High' indicates the high serum level group ($IL-22 > 50$ pg/ml) ($n=6$) and 'Low' indicates the low serum level group ($IL-22 \leq 50$ pg/ml) ($n=13$).